



UNIVERSITÄTS-
BIBLIOTHEK
PADERBORN

Die Statik im Stahlbetonbau

Beyer, Kurt

Berlin [u.a.], 1956

Die statische Untersuchung mit Berücksichtigung der drehsteifen
Verbindung der Träger

[urn:nbn:de:hbz:466:1-74292](https://nbn-resolving.org/urn:nbn:de:hbz:466:1-74292)

Bei konstantem Trägheitsmoment ($I_1 = I_2 = I_3 = I'$) entsteht nach Kürzung der Gleichungen mit $\frac{2I'l^2}{3}$ folgende Matrix:

X_1	X_2		
15	23	$50 pl$	$X_1 = + 4.3768 pl$
23	48	$68 pl$	$X_2 = - 0.6805 pl$

$$M_{I,1} = 2,688 pl^2, \quad M_{I,6} = 1,160 pl^2, \quad M_{I,4} = 1,320 pl^2,$$

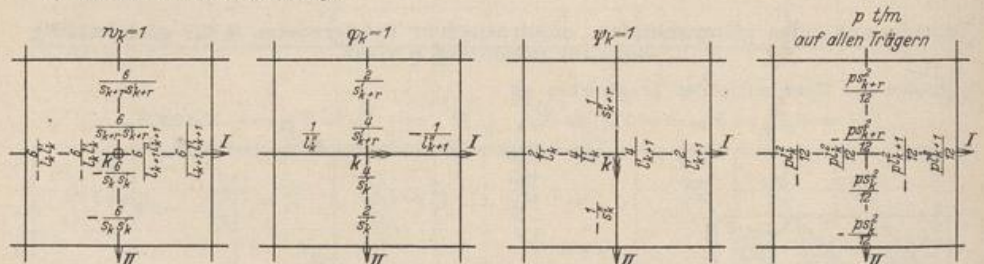
$$M_{I,11} = -1,196 pl^2, \quad M_{I,9} = 0,984 pl^2, \quad M_{I,7} = 1,484 pl^2$$

Die Biegemomente für $J = \text{const}$, $L = 12,0 \text{ m}$, $l = 2,828 \text{ m}$ und $q = 1 \text{ t/m}^2$ sind in Abb. 600 dargestellt.

Die statische Untersuchung mit Berücksichtigung der drehsteifen Verbindung der Träger. Die Anschlußkräfte der Abschnitte l_k, s_k des Trägerrostes sind Funktionen der Belastung $\mathbb{P}_{I,k}, \mathbb{P}_{II,k}$ und ihrer geometrischen Randbedingungen und daher durch die Verschiebungen w_k, φ_k, ψ_k der Knotenpunkte bestimmt (529). Diese werden nach Abschn. 39 als die geometrisch überzähligen Größen eines geometrisch bestimmten Hauptsystems berechnet. Sie gehen dabei in $3n$ statische Bedingungen ein, die nach dem Prinzip der virtuellen Verrückungen für das Gleichgewicht der äußeren Kräfte von $3n$ voneinander unabhängigen zwangläufigen Gebilden $\Gamma_{\varphi k}, \Gamma_{\psi k}, \Gamma_{w k}$ angeschrieben werden. Dabei gelten alle Bezeichnungen, Rechenvorschriften und Bemerkungen der Abschn. 38 ff., so daß je nach der Art der Kette drei verschiedene Gruppen von Gleichungen entstehen:

$$\left. \begin{aligned} \delta A_{w k} &= a_{w k, 0} + \sum w_h a_{w k, h} + \sum \varphi_h \bar{a}_{w k, h} + \sum \psi_h a_{w k, h}^* = 0, \\ \delta A_{\varphi k} &= a_{\varphi k, 0} + \sum w_h a_{\varphi k, h} + \sum \varphi_h \bar{a}_{\varphi k, h} + \sum \psi_h a_{\varphi k, h}^* = 0, \\ \delta A_{\psi k} &= a_{\psi k, 0} + \sum w_h a_{\psi k, h} + \sum \varphi_h \bar{a}_{\psi k, h} + \sum \psi_h a_{\psi k, h}^* = 0. \end{aligned} \right\} \quad (908)$$

a) Anschlußmomente infolge:



b) Anschlußmomente für Abstützung der Trägerenden nach Abb. 591 a infolge:

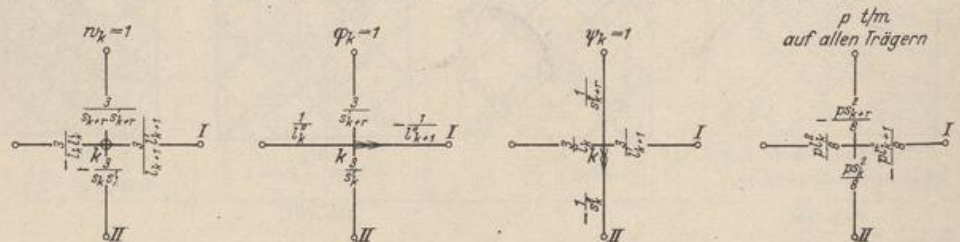


Abb. 602. Die Torsionsmomente an den Stabenden sind gleich und deshalb in Stabmitte eingetragen.

Die Vorzahlen $a_{\varphi k, 0}, a_{\varphi k, h}, \bar{a}_{\varphi k, h}, a_{\varphi k, h}^*$ bedeuten nach S. 316 virtuelle Arbeiten an der mit $\dot{\varphi}_k = 1$ angetriebenen zwangläufigen Stabkette $\Gamma_{\varphi k}$ infolge von äußeren Kräften im geometrisch bestimmten Hauptsystem, die entweder von der

k	w									φ									ψ								
	1	2	3	4	5	6	7	8	9	1	2	3	4	5	6	7	8	9	1	2	3	4	5	6	7	8	9
1	—	—	—	—	—	—	—	—	—	—	—	—	—	—	—	—	—	—	—	—	—	—	—	—	—	—	—
2	—	—	—	—	—	—	—	—	—	—	—	—	—	—	—	—	—	—	—	—	—	—	—	—	—	—	—
3	—	—	—	—	—	—	—	—	—	—	—	—	—	—	—	—	—	—	—	—	—	—	—	—	—	—	—
4	—	—	—	—	—	—	—	—	—	—	—	—	—	—	—	—	—	—	—	—	—	—	—	—	—	—	—
5	—	—	—	—	—	—	—	—	—	—	—	—	—	—	—	—	—	—	—	—	—	—	—	—	—	—	—
6	—	—	—	—	—	—	—	—	—	—	—	—	—	—	—	—	—	—	—	—	—	—	—	—	—	—	—
7	—	—	—	—	—	—	—	—	—	—	—	—	—	—	—	—	—	—	—	—	—	—	—	—	—	—	—
8	—	—	—	—	—	—	—	—	—	—	—	—	—	—	—	—	—	—	—	—	—	—	—	—	—	—	—
9	—	—	—	—	—	—	—	—	—	—	—	—	—	—	—	—	—	—	—	—	—	—	—	—	—	—	—
1	—	—	—	—	—	—	—	—	—	—	—	—	—	—	—	—	—	—	—	—	—	—	—	—	—	—	—
2	—	—	—	—	—	—	—	—	—	—	—	—	—	—	—	—	—	—	—	—	—	—	—	—	—	—	—
3	—	—	—	—	—	—	—	—	—	—	—	—	—	—	—	—	—	—	—	—	—	—	—	—	—	—	—
4	—	—	—	—	—	—	—	—	—	—	—	—	—	—	—	—	—	—	—	—	—	—	—	—	—	—	—
5	—	—	—	—	—	—	—	—	—	—	—	—	—	—	—	—	—	—	—	—	—	—	—	—	—	—	—
6	—	—	—	—	—	—	—	—	—	—	—	—	—	—	—	—	—	—	—	—	—	—	—	—	—	—	—
7	—	—	—	—	—	—	—	—	—	—	—	—	—	—	—	—	—	—	—	—	—	—	—	—	—	—	—
8	—	—	—	—	—	—	—	—	—	—	—	—	—	—	—	—	—	—	—	—	—	—	—	—	—	—	—
9	—	—	—	—	—	—	—	—	—	—	—	—	—	—	—	—	—	—	—	—	—	—	—	—	—	—	—

δA_{wk}

$\delta A_{\varphi k}$

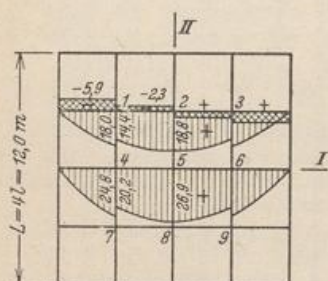
$\delta A_{\psi k}$

Belastung des Trägerrostes ($\mathfrak{B}, \Delta t$), der Verschiebung $w_h = 1$ oder von der Verdrehung $\varphi_h = 1$ oder $\psi_h = 1$ herrühren. Diese lassen sich aus den Ansätzen (533 ff.) entnehmen, so daß die Vorzeichen und Belastungszahlen mit der Abb. 602 unmittelbar angeschrieben werden können. Dabei zeigt sich, daß

$$\bar{a}_{\psi k, h} = a_{\varphi k, h}^* = 0 \quad \text{und} \quad a_{\varphi k, h} = \bar{a}_{w k, h}, \quad a_{\psi k, h} = a_{w k, h}^*.$$

Die 27 unabhängigen statischen Bedingungen zur Berechnung eines unregelmäßigen Trägerrostes nach Abb. 595 bilden die Matrix auf S. 631.

Die Wurzeln w_k, φ_k, ψ_k können durch die Iteration einer Näherungslösung angeschrieben werden, wenn auch dabei langwierige, mühevollere Zahlenrechnungen nicht ausbleiben. Sie sind bei symmetrischen Rosten durch die Umordnung der Belastung (S. 186) wesentlich einfacher. In einzelnen Fällen ist außerdem die Verdrehung der Knoten um ausgezeichnete Achsen infolge der konstruktiven Ausgestaltung des Rostes Null. Die Vorteile der Lösung treten jedoch vor allem bei Trägerrostern mit mehr als zwei Trägerscharen in Erscheinung (Abb. 607), da dann zwar der Grad der statischen Unbestimmtheit zunimmt, dagegen die Anzahl der geometrisch unbekanntenen Komponenten w_k, φ_k, ψ_k unverändert $3n$ bleibt.



▨ Biegemomente
▩ Torsionsmomente
in mt aus $q=1/m^2$

Abb. 603.

Berechnung eines seitenparallelen, quadratischen Trägerrostes b für gleichmäßig verteilte Belastung q t/m².

Der Trägerrost Abb. 603 ist bei Lagerung der Trägerenden nach Abb. 591 b und drehsteifen Knoten 33fach statisch unbestimmt und 27fach geometrisch unbestimmt. Infolge der Symmetrie von Tragwerk und Belastung genügt ein Ansatz mit 3 statischen oder 5 geometrischen Größen, um den vollständigen Spannungszustand anzugeben. Daher wird der statische Ansatz gewählt.

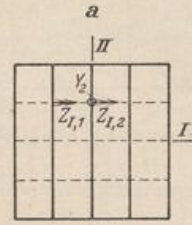
Als Überzählige dienen die Verbindungskräfte Y und die Verbindungsmomente Z_I, Z_{II} , deren Drehsinn nach Abb. 604a positiv ist. Infolge der Symmetrie des Tragwerks ist bei gleichmäßig verteilter Belastung

$$Y_1 = Y_3 = Y_9 = Y_7 = Y_5 = 0, \quad (Y_2 = -Y_6 = Y_8 = -Y_4) \equiv X_1,$$

$$(Z_{I,1} \uparrow Z_{II,1} = Z_{I,3} \wedge Z_{II,3} = -Z_{I,9} \wedge Z_{II,9} = -Z_{I,7} \uparrow Z_{II,7}) \equiv X_2,$$

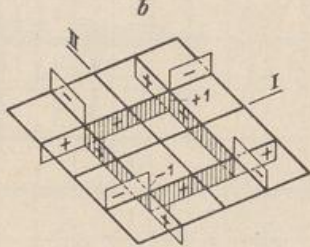
$$Z_{II,2} = Z_{I,6} = Z_{II,8} = Z_{I,4} = Z_{I,5} = Z_{II,5} = 0,$$

$$(Z_{I,2} = -Z_{II,6} = -Z_{I,8} = Z_{II,4}) \equiv X_3.$$



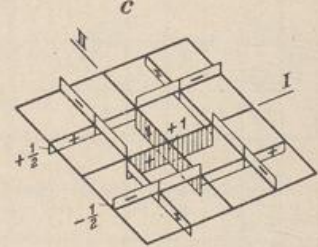
Überzählige
Verbindungskräfte

Abb. 604.



M_2 infolge $-X_2 = -1$

▨ Biegemomente



M_3 infolge $-X_3 = -1$

□ Torsionsmomente

Das Trägheitsmoment ist hier für alle Träger gleich,

$$I' = l \frac{J_c}{J}, \quad I'' = \rho I', \quad \rho = \frac{E J_g}{G T}$$

und daher nach S. 629

$$\delta_{11} = \frac{32}{3} I' l^2, \quad \delta_{10} = -\frac{23}{6} I' l^2 \rho.$$

Mit Abb. 604 b, c wird:

$$\delta_{22} = 8 I' (1 + \rho), \quad \delta_{33} = 4 I' (1 + \rho), \quad \delta_{12} = -6 I I', \quad \delta_{13} = 4 I I', \quad \delta_{23} = 4 \rho I',$$

$$\delta_{20} = \frac{44}{3} \rho I^2 I', \quad \delta_{30} = \frac{22}{3} \rho I^2 I'.$$